

<b>Zeitschrift:</b>	Bulletin des Schweizerischen Elektrotechnischen Vereins, des Verbandes Schweizerischer Elektrizitätsunternehmen = Bulletin de l'Association suisse des électriciens, de l'Association des entreprises électriques suisses
<b>Herausgeber:</b>	Schweizerischer Elektrotechnischer Verein ; Verband Schweizerischer Elektrizitätsunternehmen
<b>Band:</b>	70 (1979)
<b>Heft:</b>	15
<b>Artikel:</b>	Schaltdynamik und Rauschen von Laserdioden in optischen Sendern
<b>Autor:</b>	Jäckel, H. / Guekos, G. / Tenchio, G.
<b>DOI:</b>	<a href="https://doi.org/10.5169/seals-905405">https://doi.org/10.5169/seals-905405</a>

### Nutzungsbedingungen

Die ETH-Bibliothek ist die Anbieterin der digitalisierten Zeitschriften auf E-Periodica. Sie besitzt keine Urheberrechte an den Zeitschriften und ist nicht verantwortlich für deren Inhalte. Die Rechte liegen in der Regel bei den Herausgebern beziehungsweise den externen Rechteinhabern. Das Veröffentlichen von Bildern in Print- und Online-Publikationen sowie auf Social Media-Kanälen oder Webseiten ist nur mit vorheriger Genehmigung der Rechteinhaber erlaubt. [Mehr erfahren](#)

### Conditions d'utilisation

L'ETH Library est le fournisseur des revues numérisées. Elle ne détient aucun droit d'auteur sur les revues et n'est pas responsable de leur contenu. En règle générale, les droits sont détenus par les éditeurs ou les détenteurs de droits externes. La reproduction d'images dans des publications imprimées ou en ligne ainsi que sur des canaux de médias sociaux ou des sites web n'est autorisée qu'avec l'accord préalable des détenteurs des droits. [En savoir plus](#)

### Terms of use

The ETH Library is the provider of the digitised journals. It does not own any copyrights to the journals and is not responsible for their content. The rights usually lie with the publishers or the external rights holders. Publishing images in print and online publications, as well as on social media channels or websites, is only permitted with the prior consent of the rights holders. [Find out more](#)

**Download PDF:** 17.01.2026

**ETH-Bibliothek Zürich, E-Periodica, <https://www.e-periodica.ch>**

# Schaltdynamik und Rauschen von Laserdioden in optischen Sendern

Von H. Jäckel, G. Guekos, G. Tenchio und R. Welter

621.38 : 535 : 621.375.826.038.825;

In Laserdioden werden die Lichtsignale durch direkte Modulation des Diodenstromes erzeugt. Im GHz-Bereich machen sich dabei Resonanzerscheinungen im Modulationsfrequenzgang, Relaxationsoszillationen und Intensitätsrauschen des Lichtes störend bemerkbar. Bei älteren Laserdiotentypen treten zusätzlich ausgeprägte Modulations-Nichtlinearitäten, Selbstopzillationen und Excess-Rauschen auf. Neue Diodenstrukturen mit dielektrischer Führung des Lichts sind frei von diesen parasitären Effekten.

Dans des diodes laser, les signaux lumineux sont produits par modulation directe du courant de la diode. Dans la gamme des GHz, il en résulte des phénomènes perturbateurs de résonance dans la caractéristique de fréquence de la modulation, des oscillations de relaxation et du bruit d'intensité de la lumière. Avec les anciens types de diodes laser, il se produit en outre de nettes non-linéarités de la modulation, des auto-oscillations et un bruit excessif. Les nouvelles structures de diodes à guidage diélectrique de la lumière sont exemptes de ces effets parasites.

## 1. Einleitung

Der GaAlAs-Doppelheterostruktur-Diodenlaser darf zurzeit wohl als wichtigster Sender für optische Kommunikationssysteme bezeichnet werden. In einer fast ein Jahrzehnt dauernden Entwicklungsphase wurde dieses Element zu einem leistungsfähigen, kommerziell verwendbaren optoelektronischen Bauteil perfektioniert. Im Gegensatz zu den Doppelheterostrukturlasern der ersten Generation verfügen die heutigen Laser über einen eingebetteten dielektrischen Wellenleiter im Dioden-pn-Übergang, dessen Eigenschaften im folgenden noch näher erläutert werden. Diese modernen Strahlungsquellen mit Emissions-Wellenlängen im nahen Infrarotbereich (800...900 nm) bieten folgende Vorteile:

1. Einfache Modulation. Die Lichtintensität ist bis in den GHz-Bereich hinauf direkt proportional zum Diodenstrom. Dank der steilen Licht-Strom-Kennlinie bewirkt eine kleine Veränderung des Diodenstromes eine relativ starke Modulation der Lichtintensität.
2. Kompaktheit, geringes Volumen.
3. Einzelne Bauformen emittieren bereits bei relativ geringen Betriebsströmen (20 mA).
4. Die äußerst kleine Emissionsfläche ( $\mu\text{m}$ -Bereich) erlaubt eine wirksame Einkopplung der Strahlung in optische Fasern.
5. Das optische Intensitätsspektrum ist sehr schmal. Diese Eigenschaft verbessert die Laufzeit-Dispersion in einem fiberoptischen System.

Die Lebensdauer von Laserdioden ist allerdings noch nicht so gut wie zum Beispiel diejenige der Leuchtdioden (LED), doch stehen bereits kommerzielle Bauelemente mit projektierteter Lebensdauer bis zu  $10^5$  h zur Verfügung. Eine stetige Steigerung der Lebensdauer durch technologische Verbesserungen ist weiterhin zu erwarten.

Im folgenden soll besonders auf zwei für den nachrichtentechnischen Einsatz der Laser wichtige Aspekte eingegangen werden: das Modulations- und das Rauschverhalten der Halbleiter-Diodenlaser. Im besonderen wird gezeigt, inwieweit gewisse Nichtidealitäten älterer Laserdiotentypen, ohne laterale dielektrische Modeführung, mit neuesten Diodenbauformen weitgehend beseitigt werden können.

## 2. Streifenkontakt-Doppelhetero-Diodenlaser

Wie aus Fig. 1 zu entnehmen ist, weist dieser Diodentyp eine Mehrschicht-Sandwichstruktur der Halbleitermaterialien GaAs und GaAlAs auf. Zwischen den beiden dickeren GaAlAs-Schichten liegt eine sehr dünne GaAs-Schicht (0,1  $\mu\text{m}$ ). Diese Schicht, in der die eigentliche Lichterzeugung durch strahlende Rekombination der injizierten Elektronen

und Löcher stattfindet, wird als aktive Schicht des Lasers bezeichnet.

Die Doppelheterostruktur erlaubt, die Minoritätsträgerdichte unter Stromfluss durch die Diode bis weit über die Gleichgewichtskonzentration der Majoritätsträger zu vergrößern [1]. Dieses extreme thermodynamische Ungleichgewicht bewirkt, dass die stimulierte Emission von Photonen die optische Absorption des Materials übertrifft. Die dünne GaAs-Schicht verhält sich somit für optische Strahlung, deren Photonenergie etwa dem Dioden-Bandabstand entspricht, verstärkend. Da sich die aktive Schicht beim Laser zwischen zwei parallelen, senkrecht zur aktiven Schicht stehenden Spiegeln befindet (Fabry-Perot-Resonator), kann sich bei genügend hoher Stromdichte aus der spontanen Photonenemission eine monochromatische optische Welle in der Resonatorstruktur aufbauen. Diese resonante Feldstruktur wird als Resonatormode oder Lasermode bezeichnet.

Der wesentliche Vorteil der Doppelheterostruktur wird aus dem Bändermodell für einen in Vorwärtsrichtung gepolten Diodenlaser in Fig. 2 offensichtlich. Im Gegensatz zu Homostruktur-Übergängen, wo die injizierten Minoritätsträger bis zur Rekombination um mehrere  $\mu\text{m}$  (Diffusionslänge) vom pn-Übergang fortdiffundieren, unterbinden die eingebauten Potentialbarrieren in der Doppelheterostruktur eine Ausdiffusion der Träger aus der aktiven Schicht. Somit lassen sich schon mit geringen Diodenströmen hohe optische Verstärkungen der

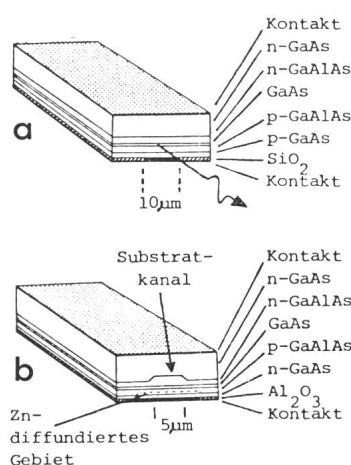


Fig. 1 Strukturen der untersuchten GaAlAs-Doppelheterostruktur-Diodenlaser

- a Konventioneller Laser mit 10  $\mu\text{m}$  breitem Streifenkontakt  
b Channeled-Substrate-Laser (CSL) mit dielektrischer Modeführung

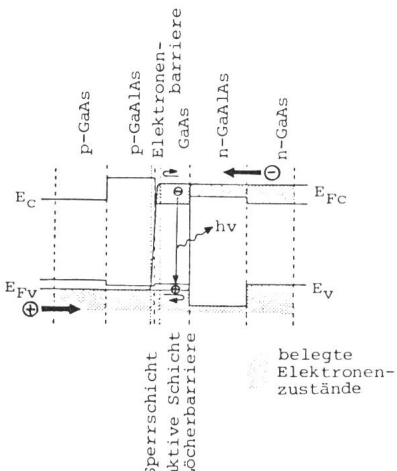


Fig. 2 Schematisches Bandkantenenergiendiagramm des Doppelheterostruktur-Diodenlasers bei Vorspannung der Diode in Flussrichtung

- $E_c$  Bandkantenenergie des Leitungsbandes
- $E_v$  Bandkantenenergie des Valenzbandes
- $E_{Fc}, E_{Fv}$  Fermi-Niveau des Leitungs- bzw. Valenzbandes

aktiven Schicht erreichen, ohne die Kristalltemperatur unzulässig zu erhöhen. Die Ursache der Barrierenbildung liegt in den unterschiedlichen Bandabständen von GaAs bzw. GaAlAs [1].

Neben dieser als Trägerconfinement bezeichneten Eigenschaft der Doppelheterostruktur wirkt diese zusätzlich als zweidimensionaler, optischer Wellenleiter. Ähnlich wie bei der Glasfaser weist die eingeschlossene GaAs-Schicht gegenüber den angrenzenden Schichten einen etwas höheren Brechungsindex auf. Die zwischen den Spiegelflächen stehende, durch das Confinement auf die aktive Schicht konzentrierte Lichtwelle garantiert somit eine optimale Wechselwirkung zwischen den Photonen des Lichtfeldes und den angeregten Elektronen des injizierten Trägerplasmas.

Bei kontinuierlich emittierenden Lasern wird der Strom nur über einen schmalen Kontaktstreifen entlang der optischen Achse des Resonators injiziert (Fig. 1). Damit erreicht man einerseits eine minimale thermische Belastung des Laserkristalls und andererseits eine laterale Führung des Lichtmodes, indem nur unter dem Kontaktstreifen die Verstärkungsbedingung für den Lasereinsatz erfüllt wird [2]. Die lokale Verstärkung des GaAs ist von der Stromverteilung unter dem Kontaktstreifen abhängig, wobei diese Stromverteilung selbst wieder stromabhängig ist [3]. Dadurch treten bei diesen einfachen Streifenkontaktlasern charakteristische Nichtidealitäten auf. Diese Verstärkungsänderungen sind oft von Modeumwandlungen im Lichtfeld begleitet, die zu Nichtlinearitäten in der Strom-Licht-Charakteristik (Kinks), Selbstoszillationseffekten der Intensität [4; 5], zunehmendem Intensitätsrauschen oberhalb der Schwelle [5], Änderung der Intensitätsverteilung im Laser selbst und Degradationen des optischen Intensitätspektrums [5] führen.

Die Entwicklung des Channeled-Substrate-Lasers (CSL) hat demgegenüber eine effektive Verbesserung der Lasercharakteristiken gebracht [5; 12]. Der ins Substrat geätzte Kanal erzeugt unter dem Streifenkontakt eine laterale Erhöhung des effektiven dielektrischen Brechungsindexes im Bereich des Substratkanals, womit eine laterale, stromunabhängige Führung des Lichtmodes erreicht wird. Die Einfach-

heit dieser Problemlösung soll nicht über die damit verbundenen herstellungstechnologischen Schwierigkeiten hinwegtäuschen.

### 3. Schaltdynamik von Diodenlasern

Schaltet man den Laserstrom sehr rasch ein, so wird während der Einschalt-Emissionsverzögerungszeit  $T_D$  im wesentlichen nur spontane Strahlung emittiert, danach erfolgt ein sehr rascher Anstieg der Lichtintensität mit Anstiegszeiten unter 100 ps, gefolgt von einer ausgeprägten Relaxationsschwingung, die typischerweise nach etwa 2...5 ns abgeklungen ist (Fig. 3). Diese Relaxations- oder Resonanzeffekte sind für Halbleiterdiodenlaser typisch und röhren von dynamischen Verzögerungseffekten zwischen dem zeitlichen Verlauf des Lichtfeldes und der die Amplitude des Lichtfeldes stabilisierenden Sättigung des aktiven Mediums her. Die Verzögerungszeit anderseits wird durch die Aufbaugeschwindigkeit des zur optischen Verstärkung notwendigen Trägerplasmas bestimmt. Fig. 3 zeigt, dass erwartungsgemäß die Verzögerung mit zunehmender Vorspannung der Diode abnimmt. Für praktische Anwendungen lassen sich diese Verzögerungseffekte durch Vorspannung des Lasers bis in den Subnanosekundenbereich reduzieren. Gleichzeitig tritt auch eine gewisse Verringerung der Relaxationsoszillation ein, die jedoch nicht vollständig unterdrückt werden kann.

Diese Resonanzphänomene zwischen Lichtfeld und Verstärkermedium wirken sich auch im Strom-Intensitäts-Modulationsfrequenzgang aus, wie er in Fig. 4 am Beispiel des Channeled-Substrate-Lasers dargestellt ist, und führen zu

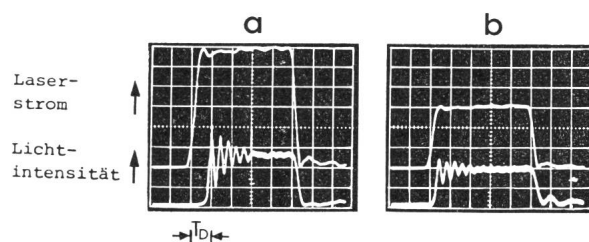


Fig. 3 Einfluss der Diodenvorspannung auf die Einschaltverzögerungszeit und die Relaxationsoszillationen des Laserlichts beim Channeled-Substrate-Laser

- $J_{th}$  = Laserschwellstrom
- $T_D$  Emissionsverzögerungszeit
- Zeitachse 1 ns/Div
- a Laserbias 0.9  $J_{th}$ ; max. Aussteuerung 1.3  $J_{th}$
- b Laserbias 1.0  $J_{th}$ ; max. Aussteuerung 1.3  $J_{th}$

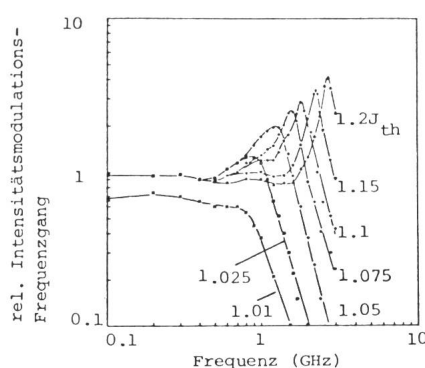


Fig. 4 Gemessener relativer Intensitätsmodulations-Frequenzgang des CSL für verschiedene Laserströme J  
 $J_{th}$  Laserschwellstrom

ausgeprägten Modulationsresonanzüberhöhungen im GHz-Bereich.

Eine teilweise Reduktion des Resonanzverhaltens, das grundsätzlicher Natur ist, gelingt durch eine Reduktion des aktiven Laservolumens (Laserfilament), verbunden mit einer relativen Zunahme der Spontanemission [6], durch Einstrahlung von Licht in den Laser [7] oder durch Verwendung von Kompensationsnetzwerken in der Diodenansteuerung, wobei alle diese Massnahmen eine Zunahme der Anstiegszeit mit sich bringen. Die Effekte der Volumenreduktion sind in Fig. 5 an Lasern mit unterschiedlichem Volumen dargestellt, wobei allerdings die Auswirkungen von Trägerdiffusionseffekten noch differenzierter behandelt werden müssten [8].

#### 4. Rauschverhalten von Laserdioden

Neben dem Modulationsverhalten von Lasersendern ist auch das Rauschverhalten des Bauelementes wichtig, da es die Empfindlichkeit eines optischen Kommunikationssystems beeinflussen kann. Laserdioden sind typische Vertreter von licht-emittierenden Bauelementen, deren optisches Rauschen durch Quantenfluktuationen, die in der internen Wechselwirkung zwischen Lichtfeld und den angeregten Elektronen des verstärkenden Mediums entstehen, erzeugt wird. Das thermische Rauschen des Lasers ist unwichtig, da die Belegung des Resonators mit thermischen Photonen im Vergleich mit den durch stimuliertes Emission erzeugten Photonen für Wellenlängen im Bereich von  $1 \mu\text{m}$  unwe sentlich ist. Die fundamentale Ursache des Intensitätsrauschen liegt in der quantenstatistischen Natur der Partikelaustauschraten zwischen den Elektronen- und Photonendichten. Diese internen Anregungsaustauschraten des Lasers sind mit dem für Quantenprozesse typischen Schrot rauschen behaftet, welches sich über die Dynamik des makroskopischen Lasersystems in extern beobachtbaren Intensitätsfluktuationen äußert.

Der Laserrauschtheorie von D.E. McCumber [9] zufolge, kann das interne Quantenrauschen des Lasers durch Schrot rauschquellen in den das dynamische Verhalten des Lasers beschreibenden Ratengleichungen berücksichtigt werden. In Fig. 6 ist eine theoretische Berechnung des Relativen Intensitätsrauschen  $\text{RIN} = \overline{\Delta I^2}(\omega) / \overline{I^2}$ , d.h. der auf das Quadrat der mittleren Intensität  $\overline{I^2}$  [ $\text{W}^2$ ] bezogenen Intensitätsrauschk dichte  $\overline{\Delta I^2}(\omega)$  [ $\text{W}^2/\text{Hz}$ ] in Funktion des Diodenlaserstromes und der Frequenz dargestellt worden. Diese sog. relative Intensitäts rauschk dichte RIN [9] hat als Rauschmass den Vorteil, unabhängig von der Messanordnung zu sein, und erlaubt einen Vergleich verschiedener Laser. Interpretieren lässt sich das RIN als Quadrat des Rauschmodulationsgrades pro Frequenzeinheit. Typische Merkmale des Rauschverhaltens sind der starke Rauschanstieg an der Laserschwelle und das Auftreten von Rauschresonanzen im GHz-Bereich. Es lässt sich zeigen, dass die Resonanzfrequenzen von Rauschen und Modulation identisch sind, da die internen Rauschquellen ähnlich wie externe Modulationsquellen wirken.

#### Experimentelle Rauschuntersuchungen

Messtechnisch wurde das Intensitätsrauschen durch Messung des Stromrauschen der zur Detektion verwendeten Photodiode mit Hilfe eines phasensensitiven Mikrowellen radiometers bestimmt [10]. Der gemessene Verlauf des RIN als Funktion der Frequenz und des Stromes einer CSL-Laser-

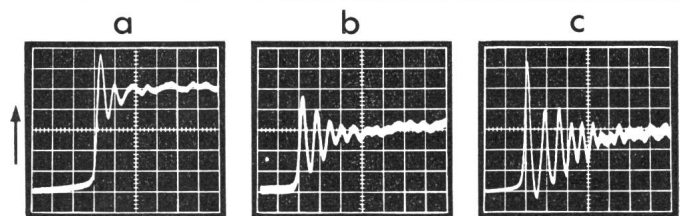


Fig. 5 Einfluss des aktiven Laservolumens auf das Einschwingverhalten des Laserlichts bei identischer normierter Aussteuerung des Lasers mit einem Stromimpuls  
Aussteuerung aller Laser:  $1.3 J_{th}$   
Zeitachse 500 ps/Div  
a Buried-Heterostruktur-Laser. Breite des aktiven Laservolumens  $2 \mu\text{m}$   
b Channeled-Substrate-Laser. Breite  $5 \mu\text{m}$   
c Konventioneller Doppelheterostruktur-Laser. Breite  $15 \mu\text{m}$

diode ist in Fig. 7 wiedergegeben. Für diesen recht idealen Diodenlaser entspricht die Messung, wie in [5] gezeigt, quantitativ sehr gut dem berechneten Verlauf. Mit älteren Laserdiotentypen ohne laterales optisches Confinement wurden zum Teil exzessive Licht-Rauschwerte gemessen, im Gegensatz zum erwarteten Verhalten. Der hohe Rauschpegel im Licht dieser Dioden widerspiegelt sich auch in einer erhöhten Rauschspannung über den Diodenklemmen [13].

Neben den typischen Quantenrauscheffekten im untersuchten Bereich von 10 MHz bis 10 GHz tritt unter etwa 1 MHz ein mit sinkender Frequenz zunehmendes Intensitäts rauschen auf, das sog.  $1/f$ -Rauschen (Fig. 8). Verschiedene Messungen [11] haben gezeigt, dass auch der Diodenstrom bei

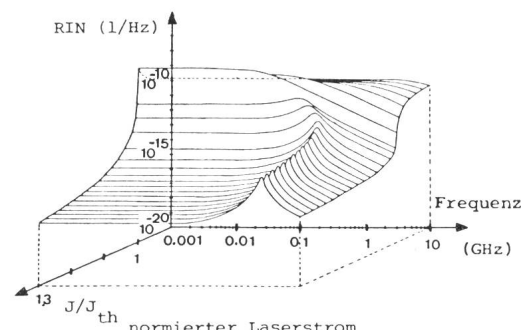


Fig. 6 Theoretischer Verlauf der relativen Intensitäts-Rauschdichte (RIN) für einen Monomode-Diodenlaser  
 $J/J_{th}$  normierter Laserstrom

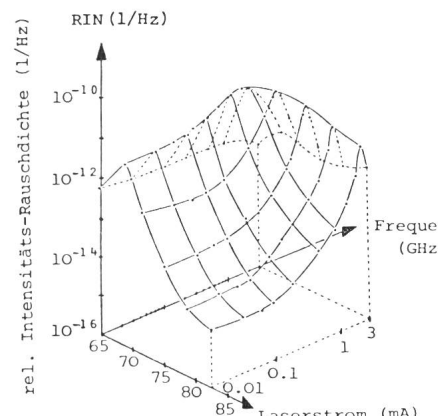


Fig. 7 Gemessener Verlauf der relativen Intensitäts-Rauschdichte für den CSL-Laser

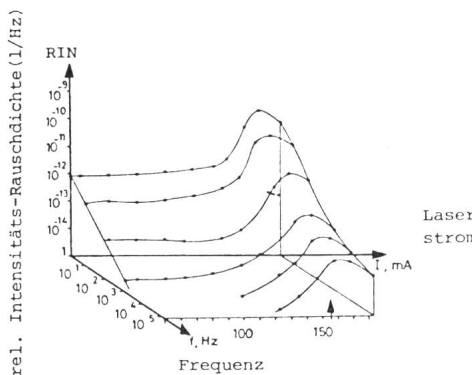


Fig. 8 Gemessener Verlauf der relativen Intensitäts-Rauschdichte im  $1/f$ -Bereich

unterdrücktem Laserprozess praktisch unverändertes  $1/f$ -Rauschen aufweist. Somit ist es naheliegend, das  $1/f$ -Rauschen des Stromes als Ursache des Lichtintensitäts- $1/f$ -Rauschens anzusehen.

#### Rauschdegradationen

Als eine Ursache von potentiellen Rauschdegradierungen in optischen Übertragungssystemen ist das Einzelmode-Rauschen in Multimode-Lasern zu erwähnen. So beobachtet man, wie in Fig. 9 dargestellt ist, dass die Strahlungsintensität von einzelnen Moden, die aus dem Spektrum eines fast Monomode-Verhaltens zeigenden CSL-Lasers herausgefiltert wurden, Fluktuationen aufweisen, deren Rauschdichten bis zu 4 Dekaden höher liegen als die Fluktuationsdichten der gesamten, unfiltrierten Intensität [10]. Diese Fluktuationsspegel sind nun so hoch, dass sie nicht mehr vernachlässigt werden können. Ursache dieses Rauschverhaltens sind negativ korrelierte Intensitätsverteilungsfluktuationen zwischen einzelnen Moden. Beobachtungen am optischen Übertragungssystem weisen darauf hin, dass gewisse Filterwirkungen durch die Fiber oder die Fiberkopplungen auftreten können, die dann das Multimode-Rauschen des Lasers zum Vorschein kommen lassen.

Eine weitere Ursache von Rauschdegradierungen sind externe optische Feedbackeffekte, wie sie auch leicht in optischen Systemen auftreten können. Zur Simulation wurde bei einer CSL-Diode mit Hilfe eines halbdurchlässigen Spiegels

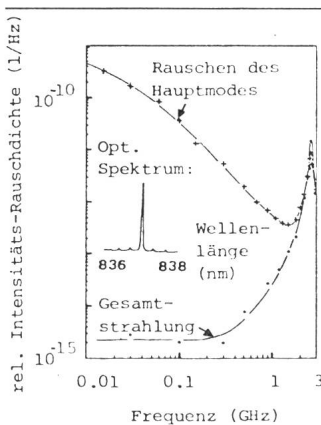


Fig. 9 Gemessener Einfluss der Modefilterung auf das relative Intensitäts-Rauschdichtespektrum

ein Teil der emittierten Strahlung in den Laser rückgekoppelt, wobei wegen positivem Rauschfeedback durch die externe Kavität starke periodische Degradationen der Rauschspektren auftreten. In ähnlicher Weise wirkt sich ein solcher optischer Feedback auch störend auf das Einschaltverhalten des Lasers aus, wie in Fig. 10 wiedergegeben.

Zusammenfassend ist festzuhalten, dass der Laser ein rauscharmer optischer Sender ist, dessen Intensitätsrauschen vermutlich nur bei sehr breitbandigen Übertragungssystemen gegenüber dem meist höheren Rauschen des detektorseitigen Vorverstärkers ins Gewicht fällt. Hingegen sind selbst ideale Laser sehr empfindlich auf externe Störungen und Modefilterungen, deren Rauschdegradation gegenüber dem Empfängerrauschen nicht mehr zu vernachlässigen ist. Rauschuntersuchungen stellen zudem eine sehr empfindliche Methode dar, um sehr geringe Störungen und Degradationen zu erkennen, und liefern zusätzlich Informationen über das dynamische Verhalten des Lasers.

#### Literatur

- [1] H.C. Casey and M.B. Panish: Heterostructure lasers. New York, Academic Press, 1978.
- [2] B.W. Hakki: GaAs double heterostructure lasing behaviour along the junction plane. *J. Appl. Physics* 46(1975)1, p. 292...302.
- [3] W.T. Tsang: The effects of lateral current spreading, carrier outdiffusion and optical mode losses on threshold current density of GaAs-Al<sub>x</sub>Ga<sub>1-x</sub>As stripe-geometry DH lasers. *J. Appl. Physics* 49(1978)3, p. 1031...1044.
- [4] T.L. Paoli: Changes in the optical properties of CW (GaAl)As junction lasers during accelerated aging. *IEEE J. Quantum Electronics* 13(1977)5, p. 351...359.
- [5] H. Jäckel and H. Melchior: Fundamental limits of the light intensity fluctuations of semiconductor lasers with dielectric transverse mode confinement. Proceedings of the 5th European Conference on Optical Communications and the 2nd International Conference on Integrated Optics and Optical Fiber Communications, Amsterdam 1979.
- [6] Y. Suematsu and K. Furuya: Theoretical spontaneous emission factor of injection lasers. *Trans. Institute of Electronics and Communication Engineers of Japan. Abstracts* E60(1977)9, p. 467...472.
- [7] G. Arnold a.o.: Modulation behaviour of double heterostructure injection lasers with coherent light injection. *AEÜ* 32(1978)32, p. 130...136.
- [8] N. Chinone a.o.: Effects of lateral mode and carrier density profile on dynamic behaviours of semiconductor lasers. *IEEE J. Quantum Electronics* 14(1978)8, p. 625...631.
- [9] D.E. McCumber: Intensity fluctuations in the output of CW laser oscillators. *I. Physical Rev.* 141(1966)1, p. 306...322.
- [10] H. Jäckel and G. Guekos: High frequency intensity noise spectra of axial mode groups in the radiation from CW GaAlAs diode lasers. *Optical and Quantum Electronics* 9(1977)~, p. 233...239.
- [11] G. Tenchio:  $1/f$ -noise of continuous wave semiconductor lasers. *Electronics Letters* 13(1977)20, p. 614...616.
- [12] R. Aiki a.o.: Transverse mode stabilized Al<sub>x</sub>Ga<sub>1-x</sub>As injection lasers with channeled-substrate-planar structure. *IEEE J. Quantum Electronics* 14(1978)2, p. 89...94.
- [13] G. Guekos a.o.: Laser light noise and current noise of GaAs CW laser diodes. *IEEE J. Quantum Electronics* 6(1970)7, p. 423...428.

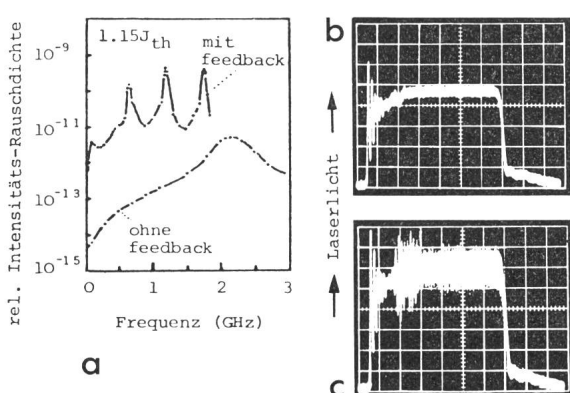


Fig. 10 Einfluss von externem optischem Feedback auf das Rausch- und Einschaltverhalten des Channelled-Substrate-Laser

- a Frequenzgangkurven
- b Oszillosrogramm ohne optisches Feedback
- c Oszillosrogramm mit optischem Feedback

#### Adresse der Autoren

H. Jäckel, dipl. El.-Ing., IBM Forschungslaboratorium, 8803 Rüschlikon, und PD Dr. G. Guekos, dipl. El.-Ing., G. Tenchio, dipl. El.-Ing., und R. Wetter, dipl. El.-Ing., Institut für Elektronik, ETH-Zentrum, 8092 Zürich.